

Superficies mínimas y problema isoperimétrico

Joaquín Pérez

Escuela de Análisis Geométrico
Granada, 1–5 de junio de 2009

Preliminares: Espacios de Sobolev

(M, ds^2) superficie Riemanniana.

$$L^2(M) = L^2(M, ds^2) = \{u: M \rightarrow \mathbb{R} \text{ medible} : \int_M u^2 dA < \infty\}.$$

- $L^2(M)$ e. Hilbert con $\langle u, v \rangle_{L^2} = \int_M uv dA$.

$$\mathcal{L}^2(M) = \mathcal{L}^2(M, ds^2) = \{X: M \rightarrow TM \text{ medible} : |X| \in L^2(M)\}.$$

- $\mathcal{L}^2(M)$ e. Hilbert con $\langle X, Y \rangle_{\mathcal{L}^2} = \int_M \langle X, Y \rangle dA$.

- $u \in L^2(M), X \in \mathcal{L}^2(M)$. X **gradiente débil** de u si $\int_M (\langle X, Y \rangle + u \operatorname{div} Y) dA = 0, \forall Y \in \mathfrak{X}_0(M)$.

- El gradiente débil, si existe, es único $\rightsquigarrow \nabla u \in \mathcal{L}^2(M)$.

Definición

$$H^1(M) = H^1(M, ds^2) = \{u \in L^2(M) \mid \exists \nabla u \in \mathcal{L}^2(M)\}.$$

- $H^1(M)$ e. Hilbert con $\langle u, v \rangle_{H^1} = \langle u, v \rangle_{L^2} + \langle \nabla u, \nabla v \rangle_{\mathcal{L}^2}$.
- $C_0^\infty(M) \subset H^1(M)$ **no es denso** en $H^1(M)$ (sí en $L^2(M)$).

$$H_0^1(M) = H_0^1(M, ds^2) = \overline{C_0^\infty(M)}^{H^1}.$$

- $u: M \rightarrow \mathbb{R}$ lipsch, $\operatorname{sop}(u)$ cpt $\Rightarrow u \in H_0^1(M)$ (ej: **f. meseta**)

Preliminares: Operadores de Schrödinger

(M, ds^2) , $\Omega \subset\subset M$. $L = \Delta + q$, $q \in C^\infty(M)$.

Forma cuadrática asociada: $\forall \varphi \in C_0^\infty(\Omega) \quad (H_0^1(\Omega))$,

$$Q(\varphi, \varphi) = - \int_{\Omega} \varphi L \varphi \, dA = - \int_{\Omega} \varphi (\Delta \varphi + q \varphi) \, dA = \int_{\Omega} (|\nabla \varphi|^2 - q \varphi^2) \, dA,$$

Definición

$\lambda \in \mathbb{R}$ *valor propio* de L en Ω sii $\exists u \in H_0^1(\Omega) - \{0\}$ (*f. propia*) t.q.

$$Q(u, \varphi) = \lambda \int_{\Omega} u \varphi \, dA, \quad \forall \varphi \in C_0^\infty(\Omega).$$

- $\text{Spec}(L, \Omega) = \{\text{valores propios}\} \subset \mathbb{R}$,
 $V_\lambda = \{f. \text{ propias para } \lambda \in \text{Spec}(L, \Omega)\} \leq H_0^1(\Omega) \cap C^\infty(\Omega)$
- $\text{Spec}(L, \Omega) = \{\lambda_1 < \lambda_2, \dots, \lambda_2 < \lambda_3, \dots, \lambda_3, \lambda_4, \dots\} \nearrow \infty$
 $\{u_1, u_2, \dots, u_{1+n_2}, u_{2+n_2}, \dots\}$ base ort $L^2(M)$.
- $\lambda_{k+1} = \inf \left\{ \frac{Q(\varphi, \varphi)}{\int_M \varphi^2 \, dA} \mid \varphi \in H_0^1(\Omega) \cap \{u_1, \dots, u_k\}^\perp, \varphi \neq 0 \right\}$.
- $u \in V_\lambda - \{0\}$ con signo constante $\Leftrightarrow \lambda = \lambda_1$.
- $\begin{cases} Lu + \lambda u = f & \text{en } \Omega \\ u = 0 & \text{en } \partial\Omega \end{cases}$ tiene sol'n⁽¹⁾ $\Leftrightarrow f \in V_\lambda^\perp$ ($\lambda \notin \text{Spec}$)

Preliminares: Índice y estabilidad

(M, ds^2) , $\Omega \subset\subset M$. $L = \Delta + q$, $q \in C^\infty(M)$.

$\text{Indice}(L, \Omega) = \text{Indice}(Q \text{ en } H_0^1(\Omega)) = \#(\text{Spec}(L, \Omega) \cap \mathbb{R}^-)$.

- $\Omega \subseteq \Omega' \Rightarrow \text{Indice}(L, \Omega) \leq \text{Indice}(L, \Omega')$ ($<$ si $\text{Vol}(\Omega' - \Omega) > 0$)

Definición (Índice y estabilidad para completas)

$\text{Indice}(L) = \text{Indice}(L, M) = \lim_{n \rightarrow \infty} \text{Indice}(L, \Omega_n)$, $\{\Omega_n\}_n \nearrow M$.

$\text{Indice}(L) = 0 \Leftrightarrow Q(\varphi, \varphi) \geq 0 \quad \forall \varphi \in H_0^1(M) \Leftrightarrow -L \geq 0 \text{ en } M$.

- Si $q_1, q_2 \in C^\infty(M)$, $q_1 \leq q_2 \text{ en } M \Rightarrow Q_2(\varphi, \varphi) \leq Q_1(\varphi, \varphi)$.
Si además $-(\Delta + q_2) \geq 0 \text{ en } M \Rightarrow -(\Delta + q_1) \geq 0 \text{ en } M$.

Lema (Fischer-Colbrie)

$L = \Delta + q$, $q \in C^\infty(M)$. Son equivalentes:

- $-L \geq 0 \text{ en } M$.
- $\exists u \in C^\infty(M, \mathbb{R}^+)$ tal que $Lu = 0 \text{ en } M$.
- $\exists u \in C^\infty(M, \mathbb{R}^+)$ tal que $Lu \leq 0 \text{ en } M$.

Demostración.

1 \Rightarrow 2. $Q(\varphi, \varphi) \geq 0 \quad \forall \varphi \in C_0^\infty(M) \Rightarrow$ Dado $\Omega \subset\subset M$,

$$\lambda_{1, \text{Dirichlet}}(L, \Omega) = \inf \left\{ \frac{Q(\varphi, \varphi)}{\int_M \varphi^2 dA} \mid \varphi \in C_0^\infty(\Omega), \varphi \neq 0 \right\} \geq 0.$$

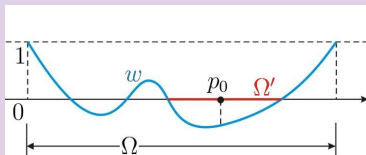
Monotonía de $\lambda_1 \Rightarrow \lambda_1(L, \Omega) > \lambda_1(L, \Omega') \geq 0 \quad \forall \Omega \subset\subset \Omega'$.

$\lambda_1(L, \Omega) > 0 \Rightarrow$ **existencia, unicidad** de solución de

$$\begin{cases} Lv = -q & \text{en } \Omega \\ v = 0 & \text{en } \partial\Omega \end{cases} \quad (\text{ptualmente si } \partial\Omega \in C^1)$$

Defino **$w = v + 1$** $\Rightarrow \Delta w + qw = 0$ en Ω , $w|_{\partial\Omega} = 1$.

- $w \geq 0$** en Ω : Si $w(p_0) < 0$ en $p_0 \in \Omega \Rightarrow \lambda_1(\Omega') = 0$, donde $\Omega' = \text{comp. de } p_0 \text{ en } w^{-1}(\mathbb{R}^-)$!!



Demostración.

1 \Rightarrow 2. $Q(\varphi, \varphi) \geq 0 \quad \forall \varphi \in C_0^\infty(M) \Rightarrow$ Dado $\Omega \subset\subset M$,

$$\lambda_{1, \text{Dirichlet}}(L, \Omega) = \inf \left\{ \frac{Q(\varphi, \varphi)}{\int_M \varphi^2 dA} \mid \varphi \in C_0^\infty(\Omega), \varphi \not\equiv 0 \right\} \geq 0.$$

Monotonía de $\lambda_1 \Rightarrow \lambda_1(L, \Omega) > \lambda_1(L, \Omega') \geq 0 \quad \forall \Omega \subset\subset \Omega'$.

$\lambda_1(L, \Omega) > 0 \Rightarrow$ **existencia, unicidad** de solución de

$$\begin{cases} Lv = -q & \text{en } \Omega \\ v = 0 & \text{en } \partial\Omega \end{cases} \quad (\text{ptualmente si } \partial\Omega \in C^1)$$

Defino $w = v + 1 \Rightarrow \Delta w + qw = 0$ en Ω , $w|_{\partial\Omega} = 1$.

- $w \geq 0$ en Ω .
- $w > 0$ en Ω : Principio del máximo para $\Delta + q$.

Demostración.

1 \Rightarrow 2. $Q(\varphi, \varphi) \geq 0 \quad \forall \varphi \in C_0^\infty(M) \Rightarrow$ Dado $\Omega \subset\subset M$,

$$\lambda_{1, \text{Dirichlet}}(L, \Omega) = \inf \left\{ \frac{Q(\varphi, \varphi)}{\int_M \varphi^2 dA} \mid \varphi \in C_0^\infty(\Omega), \varphi \not\equiv 0 \right\} \geq 0.$$

Monotonía de $\lambda_1 \Rightarrow \lambda_1(L, \Omega) > \lambda_1(L, \Omega') \geq 0 \quad \forall \Omega \subset\subset \Omega'$.

$\lambda_1(L, \Omega) > 0 \Rightarrow$ **existencia, unicidad** de solución de

$$\begin{cases} Lv = -q & \text{en } \Omega \\ v = 0 & \text{en } \partial\Omega \end{cases} \quad (\text{ptualmente si } \partial\Omega \in C^1)$$

Defino **$w = v + 1$** $\Rightarrow \Delta w + qw = 0$ en Ω , $w|_{\partial\Omega} = 1$.

$w > 0$ en Ω .

Tomo $\{\Omega_n \subset\subset M\}_n$ expansiva, $x_0 \in \Omega_1$.

Harnack ineq $\Rightarrow u_n := \frac{1}{w_n(x_0)} w_n$ unif acotada en cpts de M .

Schauder estimates $\Rightarrow \{u_n\}_n$ unif acotada en C^k sobre cpts de M .

Arzelá-Ascolí $\Rightarrow \exists u \in C^\infty(M)$ t.q. u_n (parcial) $\rightarrow u$ en cpts de M .

$u(x_0) = 1$, $u \geq 0$, $\Delta u + qu = 0$ en M , y **$u > 0$** por princ. máximo.

Demostración.

2 \Rightarrow 3. Trivial.

3 \Rightarrow 1. Por hipótesis, $\exists u \in C^\infty(M, \mathbb{R}^+)$ t.q. $\Delta u + qu \leq 0$ in M .

Sea $f \in C_0^\infty(M)$. ¿ $Q(f, f) \geq 0$? Defino $\varphi = f/u \in C_0^\infty(M)$.

$$\begin{aligned} \int_M (|\nabla f|^2 - qf^2) dA &= \int_M (|\nabla(\varphi u)|^2 - q\varphi^2 u^2) dA \\ \text{(partes)} \quad &= \int_M (-\varphi u \Delta(\varphi u) - q\varphi^2 u^2) dA \\ &= \int_M (-\varphi^2 u \Delta u - 2\langle \nabla \varphi, \nabla u \rangle \varphi u - u^2 \varphi \Delta \varphi - q\varphi^2 u^2) dA \\ &\geq - \int_M \left(\frac{1}{2} \langle \nabla(\varphi^2), \nabla(u^2) \rangle + u^2 \varphi \Delta \varphi \right) dA \\ \text{(partes, } u^2 \varphi \nabla \varphi) \quad &= \int_M |\nabla \varphi|^2 u^2 dA \geq 0. \end{aligned}$$

Lema (Principio del máximo)

$q \in C^\infty(M)$, $\Omega \subset\subset M$, $v \in C^\infty(\Omega)$ t.q. $\Delta v + qv = 0$ en Ω .

Si $v \geq 0$ en $\Omega \Rightarrow v > 0$ ó $v \equiv 0$ en Ω .

Demostración.

Supongo $v(x_0) = 0$ en $x_0 \in \Omega$. Defino

$c := \min\{\inf_\Omega q, 0\} \in (-\infty, 0]$ y $\phi := -v \in C^\infty(\Omega)$.

$\Delta\phi + c\phi = -\Delta v - cv \geq -\Delta v - qv = 0$ en Ω .

$c \leq 0$, ϕ máximo ≥ 0 en $x_0 \xrightarrow{\text{Thm 3.5 G-T}} \phi \text{ cte} \Rightarrow v \text{ cte.}$ □

Nota

$\pi: \tilde{M} \rightarrow M$ recubridor Riemanniano.

Si $-(\Delta + q) \geq 0$ en $M \Rightarrow -[\tilde{\Delta} + (q \circ \pi)] \geq 0$ en \tilde{M} .

El recíproco no es cierto:

(Σ, g) sup cpt orient, género ≥ 2 , g curvatura constante -1 .

$f \in C^\infty(\mathbb{R}, (0, 1])$, $f(0) = 1$, $-\frac{1}{8} < f''(0) < 0$.

$L := \Delta - 2f''(0)$. $\lambda_1(L, \Sigma) = 2f''(0) < 0 \Rightarrow -L$ no es ≥ 0 en Σ .

Recubridor universal de $\Sigma = \mathbb{D}$ (plano hiperbólico).

$\lim_{\Omega_n \nearrow \mathbb{D}} \lambda_{1, \text{Dirichlet}}(\tilde{L}, \Omega_n) = \lim_{\Omega_n \nearrow \mathbb{D}} \lambda_{1, \text{Dirichlet}}(\tilde{\Delta}, \Omega_n) + 2f''(0)$
 $= \frac{1}{4} + 2f''(0) > 0 \Rightarrow -\tilde{L} \geq 0$ en \mathbb{D} .

Nota (Meeks, —, Ros)

Si $\forall \Omega \subset\subset M$, $\pi^{-1}(\Omega)$ subexp area growth \Rightarrow recíproco cierto.

$\Delta - aK$: La técnica de Pogorelov

Observación (Fischer-Colbrie, Schoen, Castillon)

(M, ds^2) cpl no cpt. $A(ds^2) := \{a \in \mathbb{R} \mid -(\Delta - aK) \geq 0\}$.

Entonces, $A = [a_0, b_0]$, $-\infty \leq a_0 \leq 0 \leq b_0 \leq +\infty$.

Demostración.

1. $0 \in A$.

$Q(f, f) = \int_M |\nabla f|^2$ si $a = 0$.



$\Delta - aK$: La técnica de Pogorelov

Observación (Fischer-Colbrie, Schoen, Castillon)

(M, ds^2) cpl no cpt. $A(ds^2) := \{a \in \mathbb{R} \mid -(\Delta - aK) \geq 0\}$.

Entonces, $A = [a_0, b_0]$, $-\infty \leq a_0 \leq 0 \leq b_0 \leq +\infty$.

Demostración.

1. $0 \in A$.

2. Si $c > 0$ ($c < 0$) está en $A \Rightarrow [0, c] \subset A$ ($[c, 0] \subset A$):

$c' \neq 0$ t.q. $0 < \frac{c'}{c} < 1$, $f \in C_0^\infty(M)$.

$$0 \leq \int_M (|\nabla f|^2 + cKf^2) = \frac{c}{c'} \left[\int_M (|\nabla f|^2 + c'Kf^2) + \int_M \left(\frac{c'}{c} - 1\right) |\nabla f|^2 \right]$$



$\Delta - aK$: La técnica de Pogorelov

Observación (Fischer-Colbrie, Schoen, Castillon)

(M, ds^2) cpl no cpt. $A(ds^2) := \{a \in \mathbb{R} \mid -(\Delta - aK) \geq 0\}$.

Entonces, $A = [a_0, b_0]$, $-\infty \leq a_0 \leq 0 \leq b_0 \leq +\infty$.

Demostración.

1. $0 \in A$.

2. Si $c > 0$ ($c < 0$) está en $A \Rightarrow [0, c] \subset A$ ($[c, 0] \subset A$).

3. Si $\{c_n\}_n \subset A$, $c_n \nearrow c_\infty \in \mathbb{R}^+$ ($c_n \searrow c_\infty \in \mathbb{R}^-$) $\Rightarrow c_\infty \in A$:

Fijo $f \in C_0^\infty(M)$. $-(\Delta - c_n K) \geq 0 \Rightarrow \int_M (|\nabla f|^2 + c_n K f^2) \geq 0$.

Tomar límites.

Otra forma:

$-(\Delta - c_n K) \geq 0 \Rightarrow \exists w_n \in C^\infty(M, \mathbb{R}^+)$ t.q. $\Delta w_n - c_n K w_n = 0$.

$u_n := \frac{1}{w_n(x_0)} w_n \xrightarrow{\text{parcial}} u \in C^\infty(M)$, $\Delta u - c_\infty K u = 0$, $u(x_0) = 1$, $u \geq 0$.

Princ. máximo $\Rightarrow u > 0$ en $M \Rightarrow -(\Delta - c_\infty K) \geq 0$. □

$\Delta - aK$: La técnica de Pogorelov

Observación (Fischer-Colbrie, Schoen, Castillon)

(M, ds^2) cpl no cpt. $A(ds^2) := \{a \in \mathbb{R} \mid -(\Delta - aK) \geq 0\}$.

Entonces, $A = [a_0, b_0]$, $-\infty \leq a_0 \leq 0 \leq b_0 \leq +\infty$.

- $(\mathbb{C}, |dz|^2)$, $(\mathbb{C}^*, \frac{|dz|^2}{|z|^2})$: $a_0 = -\infty$, $b_0 = +\infty$.
- (\mathbb{D}, ds_{-1}^2) : $a_0 = -\infty$, $b_0 = \frac{1}{4}$.
- $K \geq 0 \Leftrightarrow b_0 = +\infty$:

$$\Rightarrow 0 \leq -\Delta \leq -(\Delta - cK) \quad \forall c \geq 0.$$

\Leftarrow Supongo $K(x_0) < 0$ en $x_0 \in M \Rightarrow K < 0$ en $\Omega_{x_0} \subset\subset M$.
Tomo $f \in C_0^\infty(\Omega_{x_0}) - \{0\}$. Dado $a \in A(ds^2)$,

$$\int_{\Omega_{x_0}} |\nabla f|^2 \geq -a \int_{\Omega_{x_0}} K f^2.$$

Pero $\int_{\Omega_{x_0}} (-K) f^2 > 0 \Rightarrow A(ds^2)$ acotado superiormente !!

$\Delta - aK$: La técnica de Pogorelov

Observación (Fischer-Colbrie, Schoen, Castillon)

(M, ds^2) cpl no cpt. $A(ds^2) := \{a \in \mathbb{R} \mid -(\Delta - aK) \geq 0\}$.

Entonces, $A = [a_0, b_0]$, $-\infty \leq a_0 \leq 0 \leq b_0 \leq +\infty$.

- $(\mathbb{C}, |dz|^2)$, $(\mathbb{C}^*, \frac{|dz|^2}{|z|^2})$: $a_0 = -\infty$, $b_0 = +\infty$.
- (\mathbb{D}, ds_{-1}^2) : $a_0 = -\infty$, $b_0 = \frac{1}{4}$.
- $K \geq 0 \Leftrightarrow b_0 = +\infty$:
- $K \leq 0 \Leftrightarrow a_0 = -\infty$ (interés geom: $M \stackrel{H=0}{\subset} \mathbb{R}^3$ estable)

Q1: ¿Qué relación hay entre la geometría de M y b_0 ?

Q2: ¿Estimaciones de b_0 para $(\mathbb{D}, e^{2u}|dz|^2)$ completa? (FC-S)

- 1977 Do Carmo-Peng Q2 (no explícito): $b_0 \leq \frac{1}{2}$.
- 1980 Fischer-Colbrie, Schoen Q2: $b_0 < 1$.
- 1981 Pogorelov Q2 (indep, no explícito): $K \leq 0 \Rightarrow b_0 \leq \frac{1}{2}$.
- 1986 Gulliver-Lawson Q1: Si $b_0 > \frac{1}{2} \Rightarrow M$ conform \mathbb{C} ó \mathbb{C}^* .
- 1988 Kawai Q1: Si $K \leq 0$, $K \neq 0 \Rightarrow b_0 \leq \frac{1}{4}$.
- 2002 Colding-Minicozzi: result similares $\Delta - aK + q$, $q \geq 0$.

$\Delta - aK$: La técnica de Pogorelov

Teorema (Castillon (2006, $q = 0$), Meeks,—, Ros (2008))

(M, ds^2) , $x_0 \in M$, $0 < R' < R < \text{dist}(x_0, \partial M)$.

$a \in (\frac{1}{4}, \infty)$, $q \in C^\infty(M)$, $q \geq 0$ t.q. $-(\Delta - aK + q) \geq 0$ en M .

$$\Rightarrow \frac{8a^2}{4a-1} \frac{\text{Area}(B(x_0, R'))}{R^2} + \left(1 - \frac{R'}{R}\right)^2 \int_{B(x_0, R')} q \leq 2\pi a \left(1 - \frac{R'}{R}\right)^{\frac{2}{1-4a}}$$

Y si (M, ds^2) cpl no cpt \Rightarrow QAG, $q \in L^1(M)$, M conform \mathbb{C} ó \mathbb{C}^* .

Corolario

La cota óptima para Q2 es $b_0 = \frac{1}{4}$.

Nota

$$\left. \begin{array}{l} (M, ds^2) \text{ cpl, no cpt, } \Omega \subset\subset M \\ -(\Delta - aK + q) \geq 0 \text{ en } M - \Omega \end{array} \right\} \Rightarrow M \stackrel{\text{conf.}}{\simeq} \overline{M}_k - \{p_1, \dots, p_r\}.$$

$\Delta - aK$: La técnica de Pogorelov

Demostración del teorema.

$$\left. \begin{aligned} r = d(\cdot, x_0): B(x_0, R) &\rightarrow [0, R], \\ \phi \in C^\infty([0, R], \mathbb{R}^+) \text{ t.q. } \phi(0) = 1, \phi(R) = 0, \phi' \leq 0 \text{ en } [0, R] \end{aligned} \right\} \rightsquigarrow$$

$$\rightsquigarrow f(q) = \phi(r), r = r(q), q \in B(x_0, R) \Rightarrow f \in H_0^1(B(x_0, R)).$$

$$-(\Delta - aK + q) \geq 0 \Rightarrow \int_{B(x_0, R)} qf^2 \leq \int_{B(x_0, R)} |\nabla f|^2 + a \int_{B(x_0, R)} Kf^2$$

$$\int_{B(x_0, R)} |\nabla f|^2 = \int_{B(x_0, R)} \phi'(r)^2 \stackrel{\text{coarea}}{=} \int_0^R \underbrace{\phi'(r)^2}_{\text{longitud}(\partial B(x_0, r))} l(r) dr,$$

$$\int_{B(x_0, R)} Kf^2 = \int_0^R \phi(r)^2 \int_{\partial B(x_0, r)} K ds_r = \int_0^R \phi(r)^2 \tilde{K}'(r) dr \stackrel{\text{partes}}{=} - \int_0^R (\phi^2)'(r) \tilde{K}(r) dr,$$

$$\tilde{K}(r) = \int_{B(x_0, r)} K \quad \phi(R) = \tilde{K}(0) = 0$$

$$l'(r) \stackrel{1 \text{ var long}}{=} \int_{\partial B(x_0, r)} \kappa_g(s) ds \stackrel{\text{Gauss-Bonnet}}{\leq} 2\pi \chi(B(x_0, r)) - \int_{B(x_0, r)} K \leq 2\pi - \tilde{K}(r)$$

$$\kappa_g = \text{curv geodésica} \quad (\phi^2)' = 2\phi\phi' \leq 0$$

$$\Rightarrow \int_{B(x_0, R)} Kf^2 \leq \int_0^R (\phi^2)'(r) [l'(r) - 2\pi] dr = \int_0^R (\phi^2)'(r) l'(r) dr + 2\pi$$

$$\phi(0) = 1, \phi(R) = 0$$

Demostración del teorema.

$$\left. \begin{aligned} r = d(\cdot, x_0): B(x_0, R) &\rightarrow [0, R], \\ \phi \in C^\infty([0, R], \mathbb{R}^+) \text{ t.q. } \phi(0) = 1, \phi(R) = 0, \phi' \leq 0 \text{ en } [0, R] \end{aligned} \right\} \rightsquigarrow$$

$\rightsquigarrow f(q) = \phi(r), r = r(q), q \in B(x_0, R) \Rightarrow f \in H_0^1(B(x_0, R)).$

$$\Rightarrow \int_{B(x_0, R)} qf^2 \leq \int_0^R \phi'(r)^2 l(r) dr + a \int_0^R (\phi^2)'(r) l'(r) dr + 2\pi a$$

Elijo $\phi(r) = \left(1 - \frac{r}{R}\right)^b, b \geq 1$:

$$\begin{aligned} \int_{B(x_0, R)} q \left(1 - \frac{r}{R}\right)^{2b} &\leq \frac{b^2}{R^2} \int_0^R \left(1 - \frac{r}{R}\right)^{2b-2} l(r) dr \\ &\quad - \frac{2ab}{R} \int_0^R \left(1 - \frac{r}{R}\right)^{2b-1} l'(r) dr + 2\pi a. \end{aligned}$$

$l(r)$ no C^0 pero sí derivable c.p.d. y: $\forall \psi \in C^\infty([0, R], \mathbb{R}), \psi \geq 0,$

$$\int_0^R [\psi(r)l'(r) + \psi'(r)l(r)] dr \geq \psi(R)l(R) - \psi(0)l(0) = \psi(R)l(R)$$

Elijo $\psi(r) = \left(1 - \frac{r}{R}\right)^{2b-1} (\psi(R) = 0)$:

Demostración del teorema.

$r = d(\cdot, x_0): B(x_0, R) \rightarrow [0, R],$
 $\phi \in C^\infty([0, R], \mathbb{R}^+)$ t.q. $\phi(0) = 1, \phi(R) = 0, \phi' \leq 0$ en $[0, R]$ } \rightsquigarrow
 $\rightsquigarrow f(q) = \phi(r), r = r(q), q \in B(x_0, R) \Rightarrow f \in H_0^1(B(x_0, R)).$

$$\Rightarrow \int_{B(x_0, R)} qf^2 \leq \int_0^R \phi'(r)^2 l(r) dr + a \int_0^R (\phi^2)'(r) l'(r) dr + 2\pi a$$

Elijo $\phi(r) = \left(1 - \frac{r}{R}\right)^b, b \geq 1:$

$$\int_{B(x_0, R)} q \left(1 - \frac{r}{R}\right)^{2b} \leq \frac{b^2}{R^2} \int_0^R \left(1 - \frac{r}{R}\right)^{2b-2} l(r) dr$$
$$- \frac{2ab}{R} \int_0^R \left(1 - \frac{r}{R}\right)^{2b-1} l'(r) dr + 2\pi a.$$

$l(r)$ no C^0 pero sí derivable c.p.d. y: $\forall \psi \in C^\infty([0, R], \mathbb{R}), \psi \geq 0,$

$$\int_0^R \left(1 - \frac{r}{R}\right)^{2b-1} l'(r) dr \geq \frac{2b-1}{R} \int_0^R \left(1 - \frac{r}{R}\right)^{2b-2} l(r) dr$$

Elijo $\psi(r) = \left(1 - \frac{r}{R}\right)^{2b-1} (\psi(R) = 0):$

$\Delta - aK$: La técnica de Pogorelov

Demostración del teorema.

$$\int_{B(x_0, R)} q \left(1 - \frac{r}{R}\right)^{2b} \leq \frac{b[b(1-4a)+2a]}{R^2} \int_0^R \left(1 - \frac{r}{R}\right)^{2b-2} l(r) dr + 2\pi a$$

Tomo $b > \frac{2a}{4a-1}$ ($\Rightarrow \frac{b[b(1-4a)+2a]}{R^2} < 0$), estimo **integral** por abajo:

$$\int_0^R \left(1 - \frac{r}{R}\right)^{2b-2} l(r) dr \geq \min_{[0, R']} \left(1 - \frac{r}{R}\right)^{2b-2} \int_0^{R'} l(r) dr = \left(1 - \frac{R'}{R}\right)^{2b-2} \text{Area}(B(x_0, R'))$$

Estimo la **integral** de la forma análoga ($q \geq 0$):

$$\int_{B(x_0, R)} q \left(1 - \frac{r}{R}\right)^{2b} \geq \min_{[0, R']} \left(1 - \frac{r}{R}\right)^{2b} \int_{B(x_0, R')} q = \left(1 - \frac{R'}{R}\right)^{2b} \int_{B(x_0, R')} q$$

Luego

$$\frac{b[b(4a-1)-2a]}{R^2} \left(1 - \frac{R'}{R}\right)^{2b-2} \text{Area}(B(x_0, R')) + \left(1 - \frac{R'}{R}\right)^{2b} \int_{B(x_0, R')} q \leq 2\pi a$$

$$b = \frac{4a}{4a-1} \Rightarrow \frac{8a^2}{4a-1} \frac{\text{Area}(B(x_0, R'))}{R^2} + \left(1 - \frac{R'}{R}\right)^2 \int_{B(x_0, R')} q \leq 2\pi a \left(1 - \frac{R'}{R}\right)^{\frac{2}{1-4a}}$$

Aplico la fla a \tilde{M} rec universal de $M \Rightarrow \tilde{M} \text{ QAG} \Rightarrow \tilde{M} \text{ conform } \mathbb{C}$.

Estabilidad de superficies mínimas y de CMC.

$x: M^2 \looparrowright N^3$ inm isométrica con normal unitario $\eta: M \rightarrow UN$.

$\Omega \subset\subset M$, $X: (-\varepsilon, \varepsilon) \times M \rightarrow N$, $X(0, \cdot) = x$, $\text{sop}(X_t) \subset \Omega$.

$\text{Area}(t) = \text{Area}(X_t)$ (X_t inmersión $\forall t$)

$\text{Vol}(t) = \int_{[0,t] \times \Omega} \text{Jac}(X) dV$ (volumen con signo entre x y X_t)

$$\left. \frac{d}{dt} \right|_{t=0} \text{Area}(t) = -2 \int_M Hf dA, \quad \left. \frac{d}{dt} \right|_{t=0} \text{Vol}(t) = - \int_M f dA$$

H = curvatura media de x respecto a η ,

$f = \langle \left. \frac{\partial X}{\partial t} \right|_{t=0}, \eta \rangle$ parte normal del campo variacional.

$c \in \mathbb{R}$, $(\text{Area} - 2c \text{Vol})'(0) = 2 \int_M (c - H)f dA$ luego:

M crítica para $\text{Area} - 2c \text{Vol} \Leftrightarrow \text{CMC } H = c$.

$M \looparrowright N^3$, CMC H .

$$(\text{Area} - 2H \text{Vol})''(0) = \int_M [|\nabla f|^2 - (|\sigma|^2 + \text{Ric}(\eta))f^2] dA = Q(f, f),$$

$L = \Delta + |\sigma|^2 + \text{Ric}(\eta)$ oper. Jacobi, $\sigma = 2^a$ ff de M , $\text{Ric} = \text{Ricci } N$

M estable si $-(\Delta + |\sigma|^2 + \text{Ric}(\eta)) \geq 0$ en M . (OJO: Isoperim)

$M \looparrowright N^3$, CMC H .

$$L = \Delta + |\sigma|^2 + \text{Ric}(\eta) \quad (1)$$

$$= \Delta - 2K + 4H^2 + \text{Ric}(e_1) + \text{Ric}(e_2) \quad (2)$$

$$= \Delta - K + 2H^2 + \frac{1}{2}|\sigma|^2 + \frac{1}{2}S \quad (3)$$

$$= \Delta - K + 3H^2 + \frac{1}{2}S + (H^2 - \det(A)), \quad (4)$$

A : endomorfismo de Weingarten,

e_1, e_2 : base ortonormal TM ,

S : curvatura escalar de N^3 ($S = 6$ en $\mathbb{S}^3(1)$).

Estabilidad de superficies mínimas y de CMC.

Teorema (Mazet)

$M \subset \mathbb{R}^3$ CMC $H > 0$, estable, $p \in M - \partial M$.

Entonces, $d_M(p, \partial M) \leq \frac{\pi}{2H}$ ("=" $\Leftrightarrow M = (\mathbb{S}^2)^+$)

Demostración. Supongo $D(p, R_0) \subset M - \partial M$, $\frac{\pi}{2H} < R_0 < \frac{\pi}{H}$.

Fijo $R \in (\frac{\pi}{2H}, R_0]$.

$$\Delta - aK + q, \quad a = 2, \quad q = 4H^2.$$

Técnica de Pogorelov con $\phi(r) = \cos \frac{\pi r}{2R}$

$$\int_{B(x_0, R)} qf^2 \leq$$

$$\int_0^R (\phi')^2 l \, dr + a \int_0^R (\phi^2)' l' \, dr + 2\pi a$$

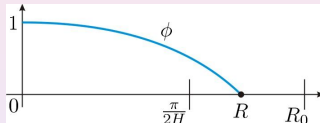
$$\Rightarrow \int_0^R [4H^2 \phi^2 - (\phi')^2 + 2(\phi^2)''] l(r) \, dr \leq 4\pi$$

$$4H^2 \phi^2 - (\phi')^2 + 2(\phi^2)'' = (4H^2 - \frac{\pi^2}{R^2}) \cos^2 \frac{\pi r}{2R} + \frac{3\pi^2}{4R^2} \sin^2 \frac{\pi r}{2R} (> 0)$$

$$K = H^2 - \frac{1}{4}(k_1 - k_2)^2 \leq H^2 \Rightarrow \begin{cases} \text{valores conjugados} \geq \frac{\pi}{H} \\ l(r) \geq \frac{2\pi}{H} \sin(Hr) \quad (\text{expl}) \end{cases}$$

$$4\pi \geq \int_0^R \left[(4H^2 - \frac{\pi^2}{R^2}) \cos^2 \frac{\pi r}{2R} + \frac{3\pi^2}{4R^2} \sin^2 \frac{\pi r}{2R} \right] \frac{2\pi}{H} \sin(Hr) \, dr := F(R, H)$$

$$F(\frac{\pi}{2H}, H) = 4\pi, \quad \frac{\partial F}{\partial R}(\frac{\pi}{2H}, H) = 2\pi H > 0 !!$$



Estabilidad de superficies mínimas y de CMC.

Teorema (Mazet)

$M \subset \mathbb{R}^3$ CMC $H > 0$, estable, $p \in M - \partial M$.

Entonces, $d_M(p, \partial M) \leq \frac{\pi}{2H}$ ("=" $\Leftrightarrow M = (\mathbb{S}^2)^+$)

Teorema (versión para operadores)

(M, ds^2) , $L = \Delta - 2K + q$, $q \in C^\infty(M)$.

Si $\exists H > 0$ t.q. $K \leq H^2 \leq \frac{1}{4}q$ en $M \Rightarrow d_M(p, \partial M) \leq \frac{\pi}{2H}$.

Teorema (Espacios de c.s.c. $k \in \mathbb{R}$)

$M \looparrowright \mathbb{M}^3(k)$, CMC $H \in \mathbb{R}$, cpl estable.

- $(k = 0) \Rightarrow M$ plano.
- $(k = 1) \Rightarrow$ no existe.
- $(k = -1)$ Si $|H| \geq 1 \Rightarrow M$ horosfera ($|H| = 1, K = 0$).

Demostración. Supongo $H^2 + k \geq 0$.

$L = \Delta - 2K + 4 \overbrace{(H^2 + k)}^{q \geq 0} \xrightarrow{Thm} M$ conform \mathbb{C} ó \mathbb{C}^* .

M estable $\Rightarrow \exists u \in C^\infty(M, \mathbb{R}^+)$ t.q. $\Delta u = [2K - 4(H^2 + k)]u$.

$$2K - 4(H^2 + k) \stackrel{K(TM)=K-\det A}{=} 2(\det A - H^2) - 2(H^2 + k) \\ = -\frac{1}{2}(k_1 - k_2)^2 - 2(H^2 + k) \leq 0$$

$\Rightarrow \Delta u \leq 0$ en $M \Rightarrow \Delta_0 u \leq 0$ en \mathbb{C} ó $\mathbb{C}^* \Rightarrow u$ cte

$\Rightarrow \Delta u = 0 \Rightarrow 2K - 4(H^2 + k) = 0 \Rightarrow M$ umbilical, $H^2 = -k$.

Estabilidad de superficies mínimas y de CMC.

Teorema

$M \looparrowright N^3$, CMC $H \in \mathbb{R}$, cpl estable.

- 1 Si $\text{Ric} \geq -2c$
y $H^2 \geq c$ ($c \in \mathbb{R}$) $\left. \vphantom{\begin{matrix} \text{Si } \text{Ric} \geq -2c \\ \text{y } H^2 \geq c \end{matrix}} \right\} \Rightarrow \begin{cases} M \text{ totalmente umbilical,} \\ H^2 = c, \text{ Ric}(\eta) = -2c. \end{cases}$
- 2 Si $\text{Ric} \geq 0 \Rightarrow M$ totalmente geodésica.

Demostración.

1. $|\sigma|^2 + \text{Ric}(\eta) \geq 0$: $|\sigma|^2 \geq 2H^2 \geq 2c$, $\text{Ric}(\eta) \geq -2c$.

Estabilidad de superficies mínimas y de CMC.

Teorema

$M \looparrowright N^3$, CMC $H \in \mathbb{R}$, cpl estable.

- 1 Si $\text{Ric} \geq -2c$
y $H^2 \geq c$ ($c \in \mathbb{R}$) $\left. \vphantom{\begin{matrix} \text{Si } \text{Ric} \geq -2c \\ \text{y } H^2 \geq c \end{matrix}} \right\} \Rightarrow \begin{cases} M \text{ totalmente umbilical,} \\ H^2 = c, \text{ Ric}(\eta) = -2c. \end{cases}$
- 2 Si $\text{Ric} \geq 0 \Rightarrow M$ totalmente geodésica.

Demostración.

1. $|\sigma|^2 + \text{Ric}(\eta) \geq 0$.

2. M QAG, $4H^2 + \text{Ric}(e_1) + \text{Ric}(e_2) \in L^1(M)$:

$$q \geq 4H^2 - 4c \geq 0$$

$$L = \Delta - 2K + \overbrace{4H^2 + \text{Ric}(e_1) + \text{Ric}(e_2)}, \text{ y aplicamos el thm.}$$

Estabilidad de superficies mínimas y de CMC.

Teorema

$M \looparrowright N^3$, CMC $H \in \mathbb{R}$, cpl estable.

- 1 Si $\text{Ric} \geq -2c$
y $H^2 \geq c$ ($c \in \mathbb{R}$) $\left. \vphantom{\begin{matrix} \text{Si } \text{Ric} \geq -2c \\ \text{y } H^2 \geq c \end{matrix}} \right\} \Rightarrow \left\{ \begin{array}{l} M \text{ totalmente umbilical,} \\ H^2 = c, \text{ Ric}(\eta) = -2c. \end{array} \right.$
- 2 Si $\text{Ric} \geq 0 \Rightarrow M$ totalmente geodésica.

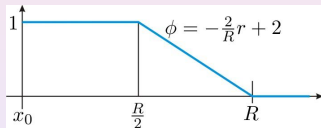
Demostración.

1. $|\sigma|^2 + \text{Ric}(\eta) \geq 0$.

2. M QAG, $4H^2 + \text{Ric}(e_1) + \text{Ric}(e_2) \in L^1(M)$.

3. $|\sigma|^2 + \text{Ric}(\eta) \in L^1(M)$:

$r = d(\cdot, x_0)$, $f(q) = \phi(r) \in H_0^1(M)$.



$$\int_{B(x_0, R/2)} (|\sigma|^2 + \text{Ric}(\eta)) \stackrel{(1)}{\leq} \int_M (|\sigma|^2 + \text{Ric}(\eta)) f^2$$

$$\stackrel{-L \geq 0}{\leq} \int_M |\nabla f|^2 = \int_{R/2}^R \phi'(r)^2 l(r) dr = \frac{4}{R^2} \int_{R/2}^R l(r) dr \stackrel{(2)}{\leq} \frac{4}{R^2} CR^2 = 4C,$$

$$l(r) = \text{length}(\partial B(x_0, R)).$$

Estabilidad de superficies mínimas y de CMC.

Teorema

$M \looparrowright N^3$, CMC $H \in \mathbb{R}$, cpl estable.

- 1 Si $\text{Ric} \geq -2c$
y $H^2 \geq c$ ($c \in \mathbb{R}$) $\left. \vphantom{\begin{matrix} \text{Si Ric} \geq -2c \\ \text{y } H^2 \geq c \end{matrix}} \right\} \Rightarrow \begin{cases} M \text{ totalmente umbilical,} \\ H^2 = c, \text{ Ric}(\eta) = -2c. \end{cases}$
- 2 Si $\text{Ric} \geq 0 \Rightarrow M$ totalmente geodésica.

Demostración.

1. $|\sigma|^2 + \text{Ric}(\eta) \geq 0$.
2. M QAG, $4H^2 + \text{Ric}(e_1) + \text{Ric}(e_2) \in L^1(M)$.
3. $|\sigma|^2 + \text{Ric}(\eta) \in L^1(M)$.
4. $K \in L^1(M)$:
 $-2K + 4H^2 + \text{Ric}(e_1) + \text{Ric}(e_2) = |\sigma|^2 + \text{Ric}(\eta)$, y usamos 2, 3.

Estabilidad de superficies mínimas y de CMC.

Teorema

$M \looparrowright N^3$, CMC $H \in \mathbb{R}$, cpl estable.

- 1 Si $\text{Ric} \geq -2c$
y $H^2 \geq c$ ($c \in \mathbb{R}$) $\left. \vphantom{\begin{matrix} \text{Si } \text{Ric} \geq -2c \\ \text{y } H^2 \geq c \end{matrix}} \right\} \Rightarrow \left\{ \begin{array}{l} M \text{ totalmente umbilical,} \\ H^2 = c, \text{ Ric}(\eta) = -2c. \end{array} \right.$
- 2 Si $\text{Ric} \geq 0 \Rightarrow M$ totalmente geodésica.

Demostración.

1. $|\sigma|^2 + \text{Ric}(\eta) \geq 0$.
2. M QAG.
3. $|\sigma|^2 + \text{Ric}(\eta) \in L^1(M)$.
4. $K \in L^1(M)$.
5. $I(r) \leq Cr$:

$$I'(r) \stackrel{1 \text{ var long}}{=} \int_{\partial B(x_0, r)} \kappa_g(s) ds \stackrel{\text{Gauss-Bonnet}}{\leq} 2\pi \chi(B(x_0, r)) - \int_{B(x_0, r)} K,$$

y usamos 4.

Estabilidad de superficies mínimas y de CMC.

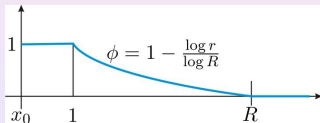
Teorema

$M \looparrowright N^3$, CMC $H \in \mathbb{R}$, cpl estable.

- 1 Si $\text{Ric} \geq -2c$
y $H^2 \geq c$ ($c \in \mathbb{R}$) $\left. \vphantom{\begin{matrix} \text{Si } \text{Ric} \geq -2c \\ \text{y } H^2 \geq c \end{matrix}} \right\} \Rightarrow \left\{ \begin{array}{l} M \text{ totalmente umbilical,} \\ H^2 = c, \text{ Ric}(\eta) = -2c. \end{array} \right.$
- 2 Si $\text{Ric} \geq 0 \Rightarrow M$ totalmente geodésica.

Demostración.

1. $|\sigma|^2 + \text{Ric}(\eta) \geq 0$.
2. M QAG.
3. $|\sigma|^2 + \text{Ric}(\eta) \in L^1(M)$.
4. $K \in L^1(M)$.
5. $l(r) \leq Cr$.
6. $|\sigma|^2 + \text{Ric}(\eta) \equiv 0$ en M :



$$\begin{aligned} \int_M (|\sigma|^2 + \text{Ric}(\eta)) f^2 &\stackrel{-L \geq 0}{\leq} \int_M |\nabla f|^2 = \int_1^R \phi'(r)^2 l(r) dr \\ &= \frac{1}{(\log R)^2} \int_1^R \frac{l(r)}{r^2} dr \stackrel{(5)}{\leq} \frac{C}{(\log R)^2} \int_1^R \frac{dr}{r} = \frac{C}{\log R} \xrightarrow{(R \rightarrow \infty)} 0, \end{aligned}$$

y usamos 1.

Estabilidad de superficies mínimas y de CMC.

Teorema

$M \looparrowright N^3$, CMC $H \in \mathbb{R}$, cpl estable.

- 1 Si $\text{Ric} \geq -2c$
y $H^2 \geq c$ ($c \in \mathbb{R}$) $\left. \vphantom{\begin{matrix} \text{Si } \text{Ric} \geq -2c \\ \text{y } H^2 \geq c \end{matrix}} \right\} \Rightarrow \begin{cases} M \text{ totalmente umbilical,} \\ H^2 = c, \text{ Ric}(\eta) = -2c. \end{cases}$
- 2 Si $\text{Ric} \geq 0 \Rightarrow M$ totalmente geodésica.

Demostración.

1. $|\sigma|^2 + \text{Ric}(\eta) \geq 0$.
2. M QAG.
3. $|\sigma|^2 + \text{Ric}(\eta) \in L^1(M)$.
4. $K \in L^1(M)$.
5. $l(r) \leq Cr$.
6. $|\sigma|^2 + \text{Ric}(\eta) \equiv 0$ en M .
7. $0 \stackrel{(6)}{=} |\sigma|^2 + \text{Ric}(\eta) = 2H^2 + \frac{1}{2}(k_1 - k_2)^2 + \text{Ric}(\eta) \geq 2H^2 + \text{Ric}(\eta) \geq 0$
 $\Rightarrow \begin{cases} |\sigma|^2 = 2H^2 \Rightarrow M \text{ totalmente umbilical,} \\ H^2 = c, \text{ Ric}(\eta) = -2c. \end{cases}$

Estabilidad de superficies mínimas y de CMC.

Teorema

$M \looparrowright N^3$, CMC $H \in \mathbb{R}$, cpl estable.

- Si $\text{Ric} \geq -2c$ y $H^2 \geq c$ ($c \in \mathbb{R}$) \Rightarrow $\left\{ \begin{array}{l} M \text{ totalmente umbilical,} \\ H^2 = c, \text{ Ric}(\eta) = -2c. \end{array} \right.$
- Si $\text{Ric} \geq 0 \Rightarrow M$ totalmente geodésica.

Geometrías de Thurston con $\dim \text{Iso}(N^3) = 4$: $\mathbb{E}^3(\kappa, \tau)$

	$\kappa > 0$	$\kappa = 0$	$\kappa < 0$	$\mathbb{E}^3(\kappa, \tau) \xrightarrow{\pi} \mathbb{M}^2(\kappa),$
$\tau = 0$	$\mathbb{S}^2 \times \mathbb{R}$	\emptyset	$\mathbb{H}^2 \times \mathbb{R}$	$E_3 = \ker(d\pi), \langle E_1, E_2 \rangle = \langle E_3 \rangle^\perp$
$\tau \neq 0$	$\mathbb{S}_{\text{Berger}}^3$	Nil_3	$\tilde{S}l_2(\mathbb{R})$	$\text{Ric}(E_1) = \text{Ric}(E_2) = \kappa - 2\tau^2,$ $\text{Ric}(E_3) = 2\tau^2 \Rightarrow S = 2(\kappa - \tau^2)$

$M \looparrowright \mathbb{E}^3(\kappa, \tau)$, CMC $H \in \mathbb{R}$, cpl estable.

- $\mathbb{S}^2 \times \mathbb{R}$: $M = \mathbb{S}^2 \times \{c\}$.
- $\text{Nil}_3(\tau = \frac{1}{2})$: $\nexists M$ si $|H| \geq \frac{1}{2}$.
- $\tilde{S}l_2(\mathbb{R})$: $\nexists M$ si $H^2 \geq \tau^2 - \frac{1}{2}\kappa$ (> 0).
- $\mathbb{H}^2 \times \mathbb{R}$: $\exists \varepsilon > 0$ s.t. $\nexists M$ si $|H| > \frac{1}{\sqrt{3}} - \varepsilon$ (mejora $|H| > \frac{1}{\sqrt{3}}$)
- $\mathbb{S}_{\text{Berger}}^3$: $\nexists M$ si $3H^2 \geq \tau^2 - \kappa$ (mejora $\text{escalar}(\mathbb{S}_{\text{Berger}}^3) \geq 0$)